

I-349 一様流中で振動する角柱まわりの流線模様

九州大学応用力学研究所 正員 溝田武人

九州大学応用力学研究所 正員 岡島厚

九州大学応用力学研究所 正員 中村泰治

1. まえがき

地上又は海中構造物やその部材の基本的断面形状の1つである角柱は自然風や潮流のような流れの環境に対して非流線型である。このような角柱の耐風安定性に関する研究の一環として、そのまわりのはく離した流れと流体力に注目した研究を行なった。こゝまでは一様流中で静止させた角柱の断面比と迎角の変化に基く、時間平均的な流れと流体力、および後流に生ずるカルマン渦による非定常流れと流体力について調べた。さらに一様流中で流れに直角方向に並進振動する角柱まわりの流れの特性として角柱の断面比と無次元流速の違いに基く後流よどみ点($X_{w.s.}$)の移動や後流幅の変化の様子を調べた。そして振動角柱後流に生ずるカルマン渦と角柱の加振振幅の各々の成分の流速変動の場所的な増幅・減衰過程と角柱に加わる非定常揚力との関係を調べ、角柱の揚力ヘッド・バックエフェクトの意味における渦の形成領域に関する議論を行なった。このような背景を踏まえ、本報告では、種々の加振振幅と無次元流速で振動する角柱まわりの時間平均的な流れと非定常流線を画き、角柱まわりの流れの変化と角柱の安定・不安定に関する議論を試みた。実験はこゝまでは同様に応用力学研究所のエッセル型風洞(側定部 幅×高さ×長さ = $0.7\text{m} \times 3.0\text{m} \times 2.0\text{m}$)で行い、流速の測定には角柱の振動座標に乗せたタレテム型熱線流速計プローブを使用した。供試角柱の断面比は $D/H=2$, 1 及び $H=15\text{cm}$ とした。一様流速は $U_0=9.56 \sim 4.19\text{ m/sec}$ 、角柱の加振振幅は $F=6.56 \sim 3.75\text{ Hz}$ 、無次元流速 $\bar{V}=U_0/F$ = $15.93 \sim 4.66$ 、無次元加振振幅 $A/H=0.10 \sim 0.0125$ 、曳駆レインルス数は $Re=U_0 H/L=(9.89 \sim 4.33) \times 10^4$ である。レは空気の動粘性係数である。角1,2,3,4は図1に示す。

2. 実験結果

(1) 時間平均流線: 図1の $D/H=2$, $\bar{V}=6.93$, ($\bar{V}_{cr}=12.0$), $A/H=0.025$ によると $X_{w.s.}$ の位置や $\bar{V}=0.02$ で生ずる Y 方向の幅も静止角柱の場合とはほぼ同一であるが、中心軸上に沿う逆流速度は激しくなり振動の影響が現われる。 $\bar{V}=12.0$, $A/H=0.05$ (図1略) では $X_{w.s.}$ は背面に急速に接近し、X 方向には逆流域は短くなる。 $\bar{V}=7.03$, $A/H=0.0125$ と A/H が小さい場合には、 $X_{w.s.}$ は若干接近する。同一の \bar{V} で、 $\bar{V}=7.00$, $A/H=0.05$ (図1略); $\bar{V}=6.00$, $A/H=0.05$ で流れの構造は一変し、再付着型の平均流線になる。 \bar{V} が低下すると共に上下面の再付着点は前方へと移動する。一方図2の $D/H=1$, $\bar{V}=8.00$, $A/H=0.05$ の場合は、静止角柱で $\bar{V}=10.0$, $A/H=0.10$ (図1略) と違って $\bar{V}=8.52$, $A/H=0.05$ (図1略) と同様に $\bar{V}=0.02$ で、すなわち Y 方向の幅が狭くなっている。

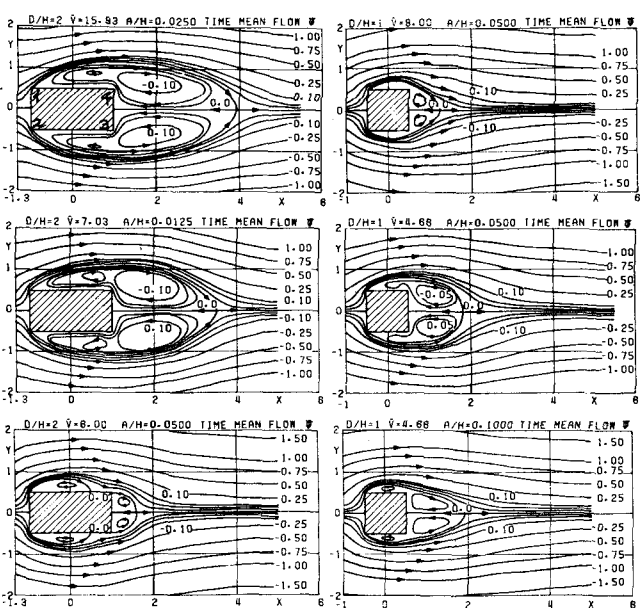


図1 $D/H=2$ 角柱の時間平均流線 図2 $D/H=1$ 角柱の時間平均流線 3. さらに低い $\bar{V}=4.66$ で $A/H=0.05$ では $X_{w.s.}$ は後方に移動し、 $\bar{V}=0.0$ の幅も拡大しているが、同一の $\bar{V}=4.66$ でも $A/H=0.10$ と A/H を増すと、 $X_{w.s.}$ は後方に移動し、むしろ $\bar{V}=0.00$ の Y 方向の幅は狭く変化している。

(2) 非定常流線: 以下において、角柱の振動変位は $Y(t) = A/H \cdot \cos 2\pi F_t t$ と表わし、 $2\pi F_t = 0^\circ, 30^\circ, 60^\circ, 90^\circ, 120^\circ, 150^\circ, 180^\circ$ の瞬間ににおける非定常流線を示すが紙面の都合上その一部に112枚載せた。流線は角柱の振動数の周波数応答成分による流速から求めた。まず図3に $D/H=2$ 角柱の結果を示す。

$\bar{V} = 15.93, A/H = 0.025$ では1周期間で流れは時間平均流線からわずかにゆらぐ程度である。 $\bar{V} = V_{cr} = 12.0, A/H = 0.05$

ではゆらぎは激しく変化している。特に $2\pi F_t = 120^\circ$ は上向き最大の揚力を示す瞬間であり、角干を上方に向かう流れにより、上面側が低圧になることにより上方への揚力が最大になると考えられる。 $\bar{V} = 7.03, A/H = 0.0125$ では低振幅であり、 $2\pi F_t = 150^\circ$ 上向き最大の揚力になる。

この場合のゆらぎは静止角柱に生ずるカルマン渦によって上向き最大の揚力が作用して113流線とほぼ等しい。 $\bar{V} = 7.00, A/H = 0.05$ の場合は、(1) おりの位相の時でも上面や下面の一方又は両方で流れは再付着している。 $\bar{V} = 6.00, A/H = 0.05$ では再付着点の移動はさらに激しく、やがて $2\pi F_t = 90^\circ$ の図のように有効迎角に対してもまたく非定常的な流れになってしまい。

次に図4に $D/H=1$ 角柱の結果を示す。 $\bar{V} = 10.0, A/H = 0.10$ では

$2\pi F_t = 140^\circ$ 下向き最大の揚力が作用して113が両条件とも $2\pi F_t = 120^\circ$ のときには角干の近くに循環流が形成され、 $2\pi F_t = 150^\circ$ ではその一連の流れとして角干を下方へ進む流れが顕著である。そして下面側がこの位相で低圧となつて下向き最大の揚力が作用して113。 $\bar{V} = 8.52, 8.00$ は $2\pi F_t = 90^\circ \sim 120^\circ$ 上向き最大の揚力が作用して113が両条件とも $2\pi F_t = 120^\circ$ のときには角干の近くに循環流が形成され113。 $\bar{V} = 4.66$ の流れでは $A/H = 0.05$ 角柱は安定であるが、 $A/H = 0.10$ は不安定となる非線形性が著しい。図のよう、 $A/H = 0.10$ の $2\pi F_t = 90^\circ$ では、 $D/H = 2$ の $\bar{V} = 6$ と同様に非定常性が大きい流れとなつてしまい。最後に低風速域における両角柱の振動変位 Y と流れの再付着点 $X_{R.P.}$ の移動の特徴と揚力変動の関係をまとめた図5に示す。この付近のYにおける角柱上面側の $X_{R.P.}$ 点が角柱前方へ移動する位相と、角柱の下方向へ作用する揚力の位相が一致する、113こと判る。

3. 結論

振動によつて再付着型の流れとなる過程は $D/H = 2$ と 1 と異なる。 V_{cr} 附近では揚力が最大となる瞬間は低圧側の後縁の後方に流れの特徴があり、そこは流速のパワーが増加する所であった。低風速域での揚力と再付着点の移動の位相関係は大略合つ113。文献1)小林・阪大准教授、53年、中村彦史、や34回年次講演会、54年、3)白石松本、66回風工学シンポジウム、55年

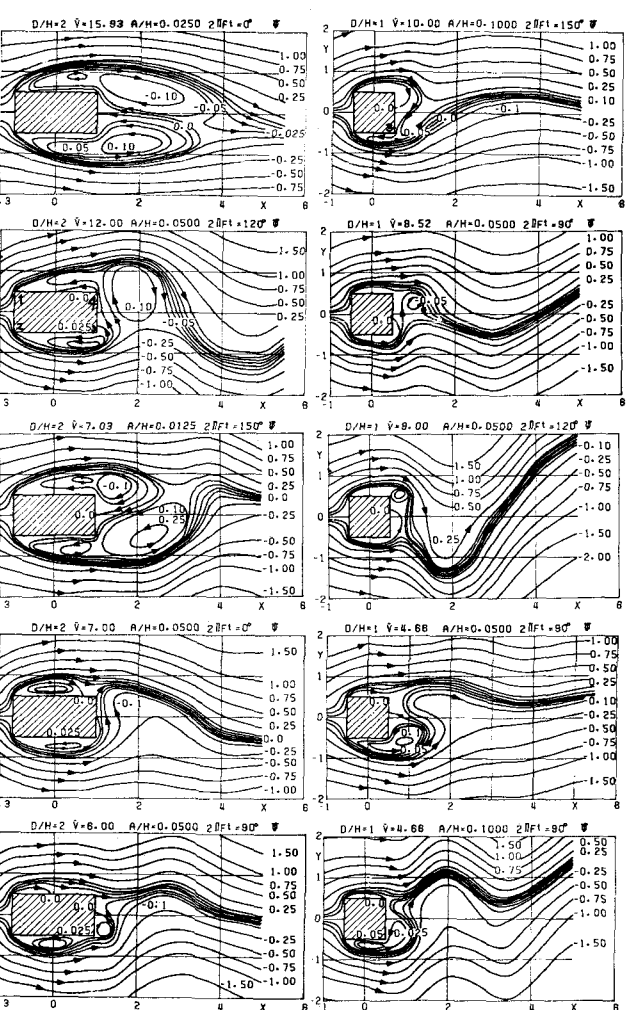


図3 $D/H=2$ 角柱の非定常流線

図4 $D/H=1$ 角柱の非定常流線

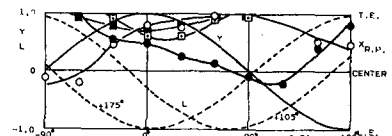


図5 再付着点の動きと揚力変動

D/H	\bar{V}	A/H	Q_0	$X_{R.P.}$	Q_0 は
2	6.00	0.05	$\pm 105^\circ$	上↑	基準位
2	7.00	0.05	$\pm 180^\circ$	上↑	対応揚力
1	4.66	0.10	$\pm 175^\circ$	上↑	かの位相